

淡水域 : $D \left\{ \frac{\partial^2 \eta_1}{\partial r^2} + \frac{1}{r} \frac{\partial \eta_1}{\partial r} + \frac{1}{r^2} \frac{\partial^2 \eta_1}{\partial \theta^2} \right\} = \frac{Q}{K}$ (5)

塩水化域 : $\frac{\partial}{\partial r} \left\{ (D-\zeta) \frac{\partial \eta_2}{\partial r} \right\} + \frac{1}{r} (D-\zeta) \frac{\partial \eta_2}{\partial r} + \frac{1}{r^2} \frac{\partial}{\partial \theta} \left\{ (D-\zeta) \frac{\partial \eta_2}{\partial \theta} \right\} = \frac{Q}{K}$ (6)

塩水化域の方程式(6)は線型の形をしてゐるが、これを次の様にして線型化する。淡水域境界面 $r = \zeta(r, \theta)$ では淡水と塩水の圧力が等しいという条件から $(D-\zeta) = (\eta_2 - \bar{H})/\gamma$ ($\gamma = (\rho_2 - \rho_1)/\rho_1$, $\bar{H} = (\rho_1/\rho_2)H$, ρ_2 : 塩水の密度) という関係式が成立するので、 $(D-\zeta) \frac{\partial \eta_2}{\partial r} = (\eta_2 - \bar{H})/\gamma \cdot (\partial \eta_2 / \partial r) = \partial/\partial r \{ (\eta_2 - \bar{H})^2 / 2r \}$ となる。θについての微分も同様だから(6)式は

$$\Delta \left\{ \frac{(\eta_2 - \bar{H})^2}{2r} \right\} = Q/\gamma k D^2 \quad (\Delta \equiv \partial^2/\partial r^2 + (1/r) \partial/\partial r + (1/r^2) \partial^2/\partial \theta^2) \quad (7)$$

また淡水域の方程式(5)は $\Delta \left\{ \frac{(\eta_1 - \bar{H})}{\gamma D} - \frac{1}{2} \right\} = Q/\gamma k D$ と変形すれば、2つの領域の方程式は

$$\Delta \eta_1^* = Q^*/D^2 \quad \text{及び} \quad \Delta \eta_2^* = Q^*/D^2 \quad (8)$$

となって同形の線型方程式になる。ここに $\eta_1^* \equiv \eta_1 - \bar{H}$, $\eta_2^* \equiv \frac{1}{2} \phi^2$ ($\phi \equiv (\eta_1 - \bar{H})/\gamma D$), $Q^* \equiv Q/\gamma k$ である。

淡水域と塩水化域の境界 $r = \zeta(\theta)$ では $\zeta = 0$ であり、また $\eta_1 = \eta_2$ となっているべきだから、その境界上で

$$\eta_1 = \eta_2 = \bar{H} + \gamma D, \quad \text{従つて} \quad \eta_1^* = \left\{ (\eta_1 - \bar{H})/\gamma D \right\} - \frac{1}{2} = \frac{1}{2} \quad \text{及び} \quad \eta_2^* = \left\{ (\eta_1 - \bar{H})/\gamma D \right\}^2 / 2 = \frac{1}{2}$$

となる。また境界では η_1^* 及び η_2^* の座標 r, θ についての一次微分は等しくなる事も簡単に導き出せる。すなわち η_1^* と η_2^* は境界 $r = \zeta(\theta)$ で滑らかに接続し、そこでは $1/2$ の値になる事が分かる。従つて(8)式の2つの方程式は、淡水域及び塩水化域の両者にまたがって単一の方程式

$$\Delta \eta^*(r, \theta) = Q^*(r, \theta)/D^2 \quad (9)$$

に帰着する。この方程式の解 $\eta^*(r, \theta)$ が求めれば、境界線 $r = \zeta(\theta)$ は $\eta^*(r = \zeta(\theta), \theta) = 1/2$ の条件により決定される。 η^* が満たさねばならぬ境界条件を図-2に示す。図中 $S^* \equiv S/\gamma k D^2$ (S : 地下水流量) である。

4. グリーン関数による解 方程式(9)は source が $Q^*(r, \theta)/D^2$ である Poisson の方程式である。この解は図-2よりもっと複雑な境界上での同様な境界条件についてグリーン関数の方法により得られるが、特に図-2の様な扇形で、かつ $\Theta = 360/m$ (degree) ($m = 2, 4, 6, \dots$) の場合には、鏡像の方法によりグリーン関数を解析的に求める事ができる。結果は $r^* \equiv r/R$, $Q^* \equiv R^2 Q^*/D^2$ として扇形内部領域 D 内の積分形で

$$\eta^*(r^*, \theta) = \frac{S^*}{2\Theta} \log \frac{1}{r^*} - \frac{1}{4\pi} \sum_{k=1}^m \int_{D_k} Q^*(r_k^*, \theta_k) \log \left\{ \frac{1 + r_k^* r^* - 2r_k^* r^* \cos(\theta - \theta_k)}{r_k^* + r^* - 2r_k^* r^* \cos(\theta - \theta_k)} \right\} r_k^* d\theta_k \quad (10)$$

ここに $\theta_k = (k-1)\Theta + \begin{cases} \theta_0 & (k: \text{奇数}) \\ \theta_0 - \theta & (k: \text{偶数}) \end{cases}$ 。図-3に円内で一樣揚水がある場合の水頭中の分布の一例を示す。図で $\phi = 1.0$ の線は、境界 $r^* = \zeta^*(\theta)$ ($\zeta^* \equiv \zeta/R$) を表わす。

5. あとがき 以上、扇状地形における塩水化現象に関する理論的考察を行つたが、定常状態においては、水頭 η の形を適当に変換することにより、淡水域と塩水化域の方程式は両方の領域にまたがって単一の Poisson 方程式にまとめられる事が分つた。これは揚水量と淡水域境界面の変動との間の量的な関係を把握する上で解析を容易にするものと思われる。この研究では理想化された扇状地形について考察したが、もっと複雑な地形にも適用できる。今後、具体的な扇状地について Poisson 方程式を数値的に解いて、この理論的モデルの適用性の検討を行なうつもりである。

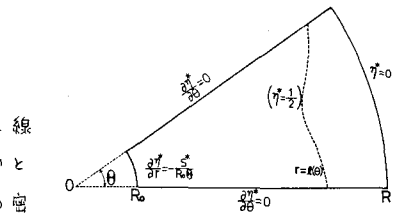


図-2. η^* の境界条件

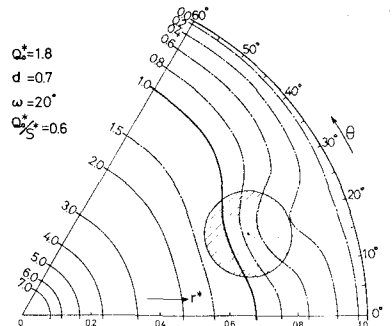


図-3. 円内で一樣揚水するときの例 ($\Theta = 60^\circ$, $S^* = 3.0$)

参考文献 1) 福尾; 被圧地下水の塩水化について, 日本地下水学会誌, 14巻, 第2号, 1972, pp. 33~44.

2) 福尾, 北岡; 内湾における海水と地下水の交流について, 沿岸海洋研究1-1, 12巻, 第1号, 1974, pp. 23~36.

3) Fukuo, Y.; Visco-Elastic Theory of the Deformation of a Confined Aquifer, Proc. Int. Symp. on Land Subsidence, Tokyo, 1969, pp. 541~562.